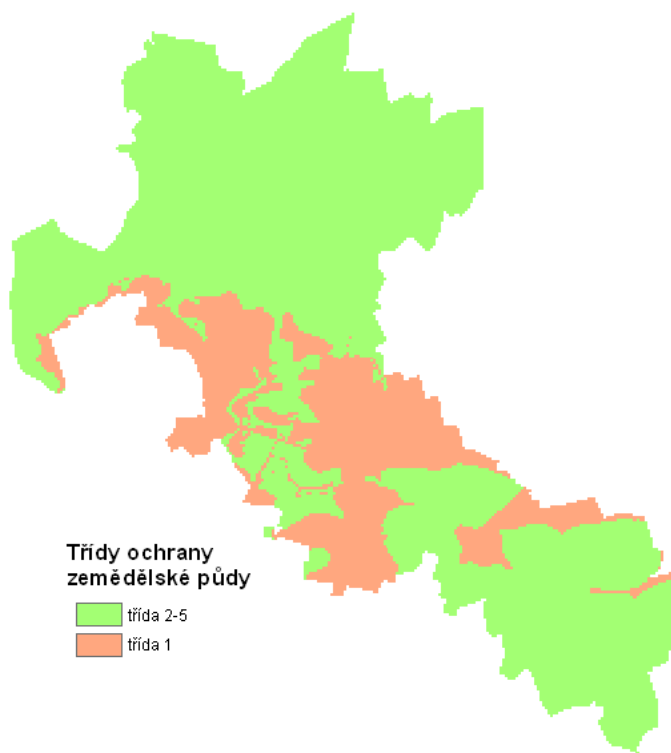


SEZNAM PŘÍLOH

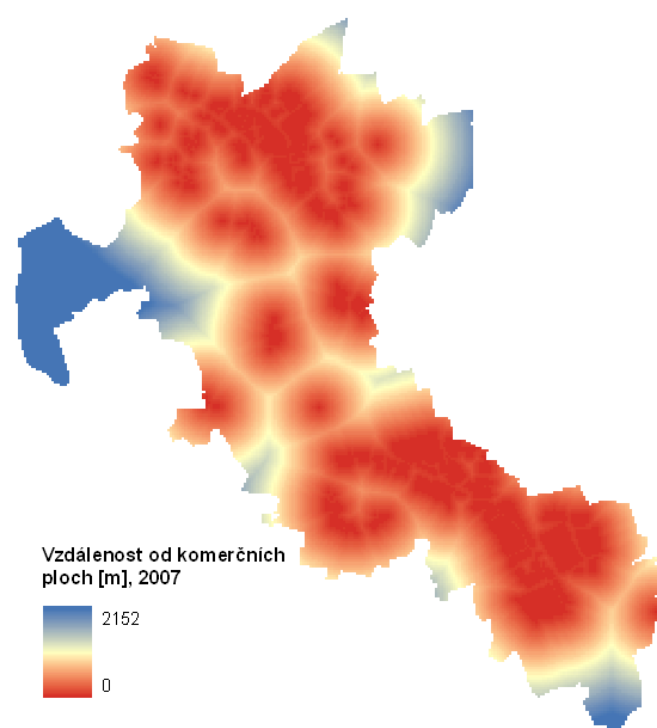
- PŘÍLOHA 1** Třídy ochrany zemědělské půdy
Vzdálenost od komerčních ploch, 2007
- PŘÍLOHA 2** Vzdálenost od silnic, 2007
Vzdálenost od nedostavěné rezidenční zástavby, 2007
- PŘÍLOHA 3** Vzdálenost od nedostavěných komerčních ploch, 2007
Nadmořská výška zájmového území
- PŘÍLOHA 4** LCM – silniční síť, 2007
- PŘÍLOHA 5** LCM – Potenciál přeměny ze zemědělské půdy na rezidenční zástavbu
LCM – Potenciál přeměny z rozestavěných ploch na rezidenční zástavbu
- PŘÍLOHA 6** LCM - Potenciál přeměny z rozestavěných ploch na komerční zástavbu
LCM - Potenciál přeměny z rozestavěných ploch na zemědělskou půdu
- PŘÍLOHA 7** LCM – Plánování, Vznik komerčních ploch
LCM – Plánování, Vznik nové zemědělské půdy
- PŘÍLOHA 8** LCM – Předpokládané změny, počet pixelů
LCM – Původní matice přechodu
- PŘÍLOHA 9** Dyna-CLUE – Program *convert.exe*
Dyna-CLUE, Soubor *demand.in1*, požadované plochy [ha]
- PŘÍLOHA 10** Dyna-CLUE – Oblasti určené k simulaci
Dyna-CLUE – Speciální požadavky na rozvoj území, přeměna stavenišť na zemědělskou půdu
- PŘÍLOHA 11** Dyna-CLUE, výstupní soubor *log.fil*
- PŘÍLOHA 12** Hodnocení přesnosti, Nová výstavba - Dyna-CLUE
Hodnocení přesnosti, vznik nové komerční výstavby dle prefrenčních oblastí
- PŘÍLOHA 13** Srovnání prvního a druhého výstupu z LCM

PŘÍLOHA 1

Třídy ochrany zemědělské půdy

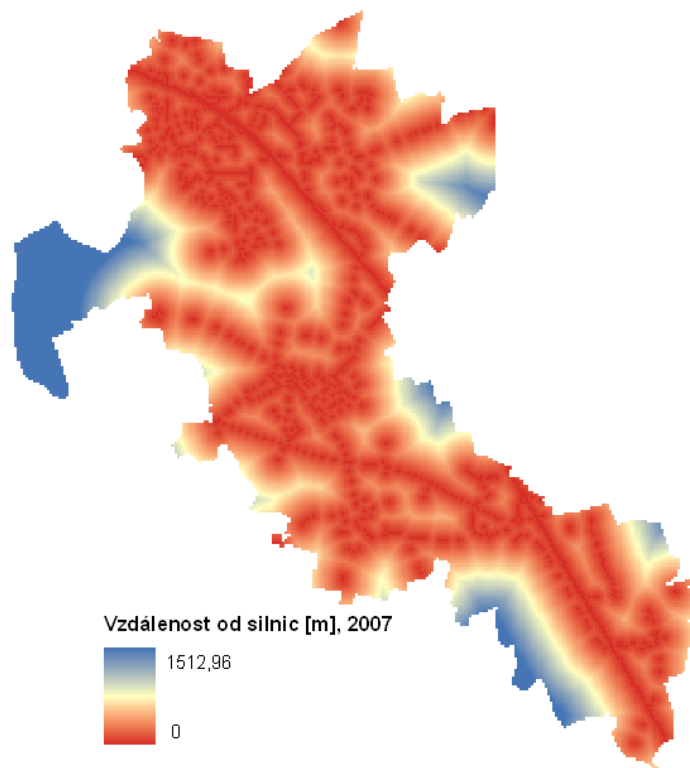


Vzdálenost od komerčních ploch, 2007

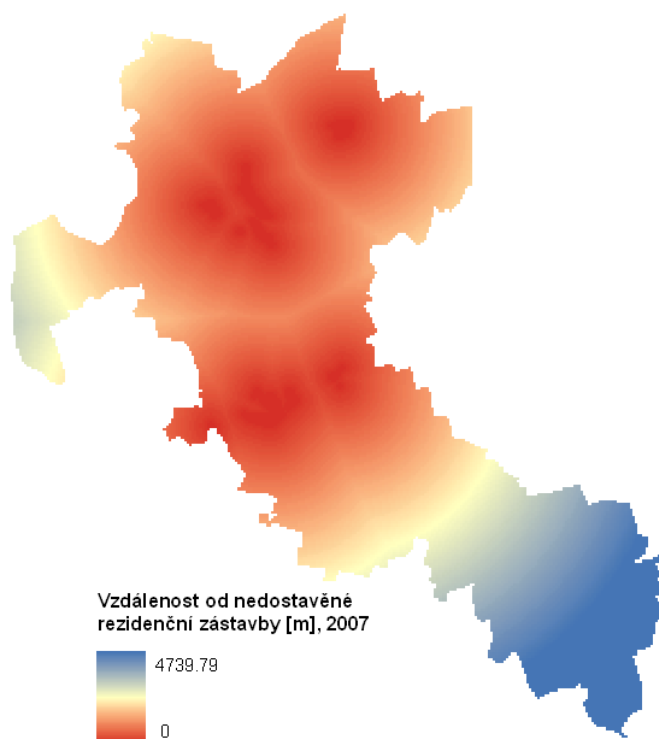


PŘÍLOHA 2

Vzdálenost od silnic v roce 2007

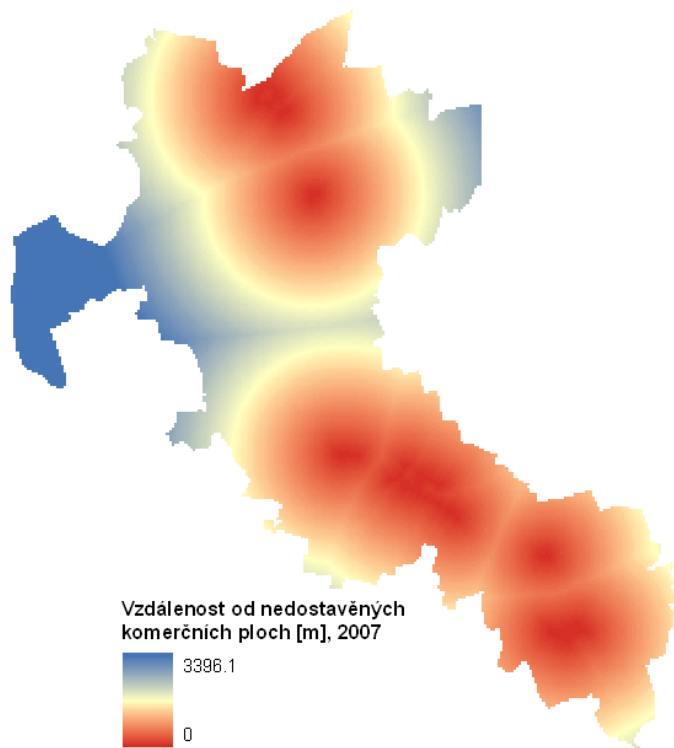


Vzdálenost od nedostavěné rezidenční zástavby, 2007

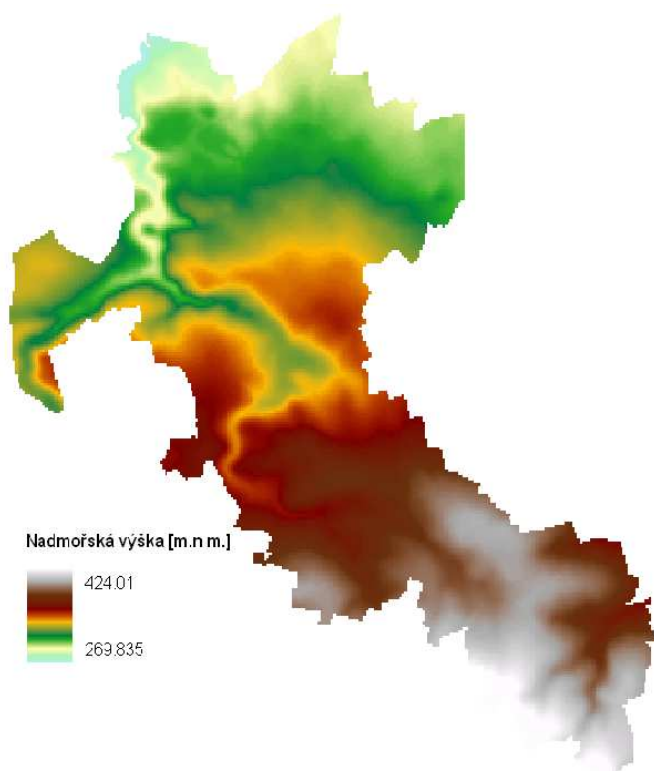


PŘÍLOHA 3

Vzdálenost od nedostavěných komerčních ploch, 2007

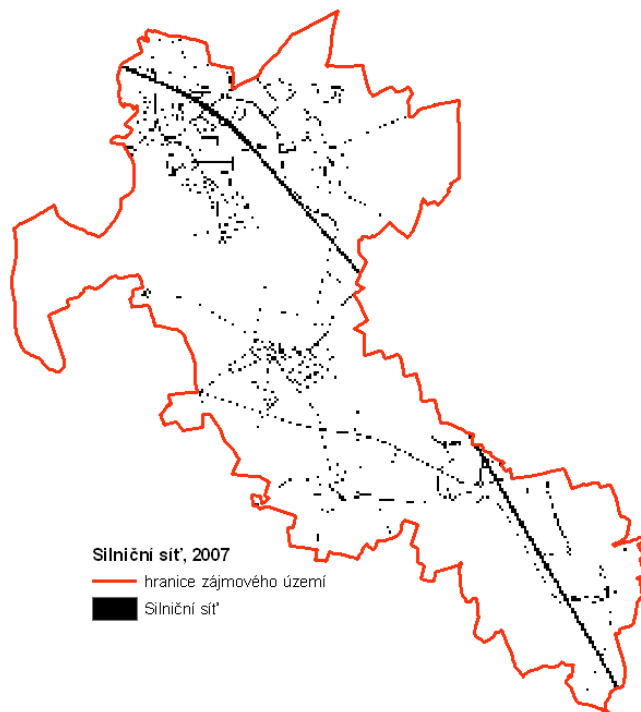


Nadmořská výška zájmového území



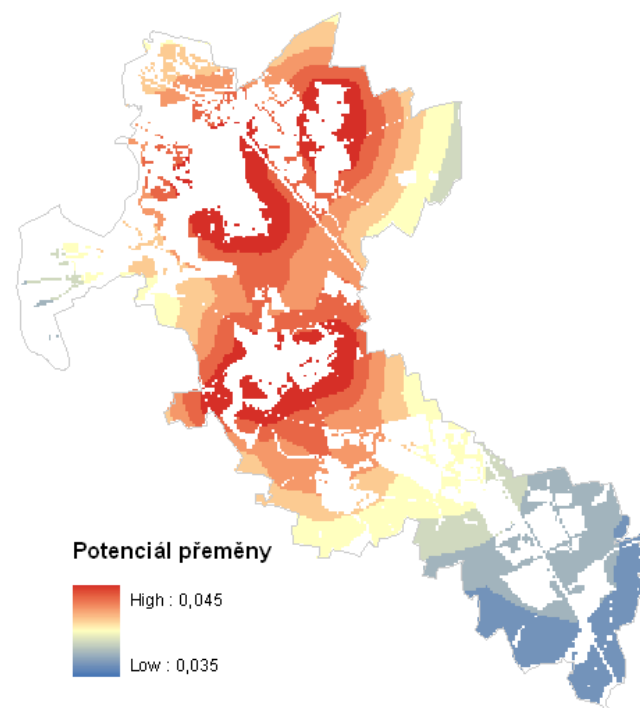
PŘÍLOHA 4

LCM – Silniční síť, 2007

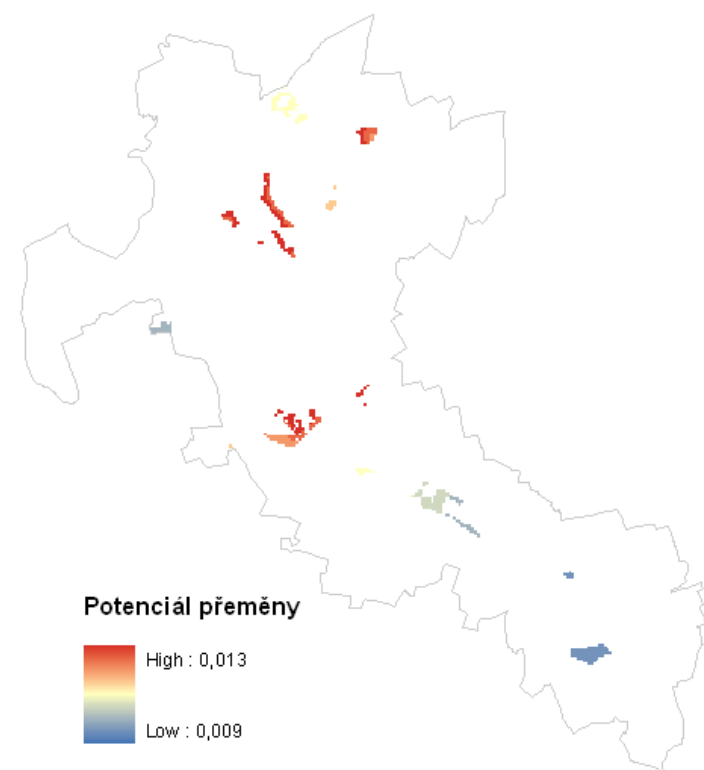


PŘÍLOHA 5

LCM - Potenciál přeměny ze zemědělské půdy na rezidenční zástavbu

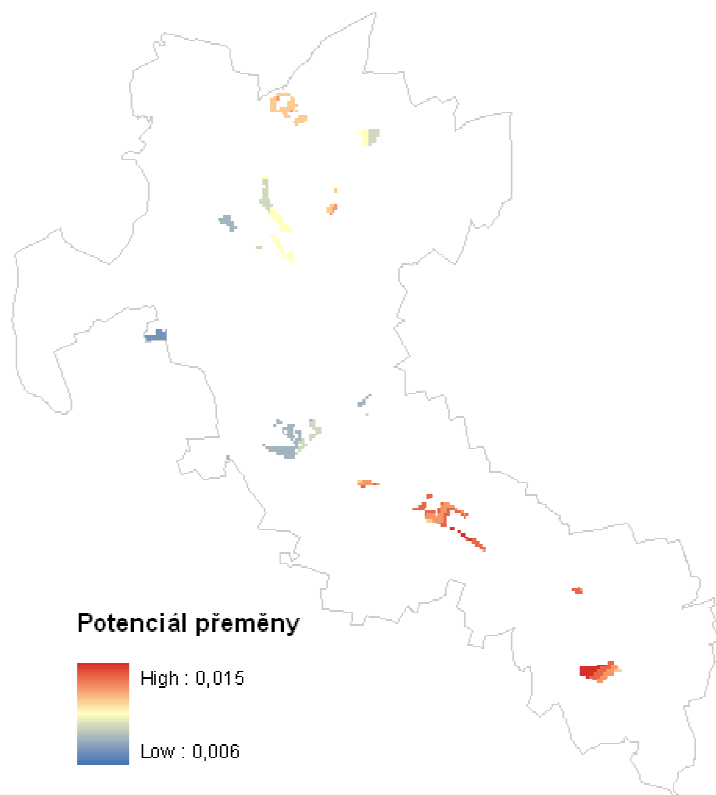


LCM - Potenciál přeměny z rozestavěných ploch na rezidenční zástavbu

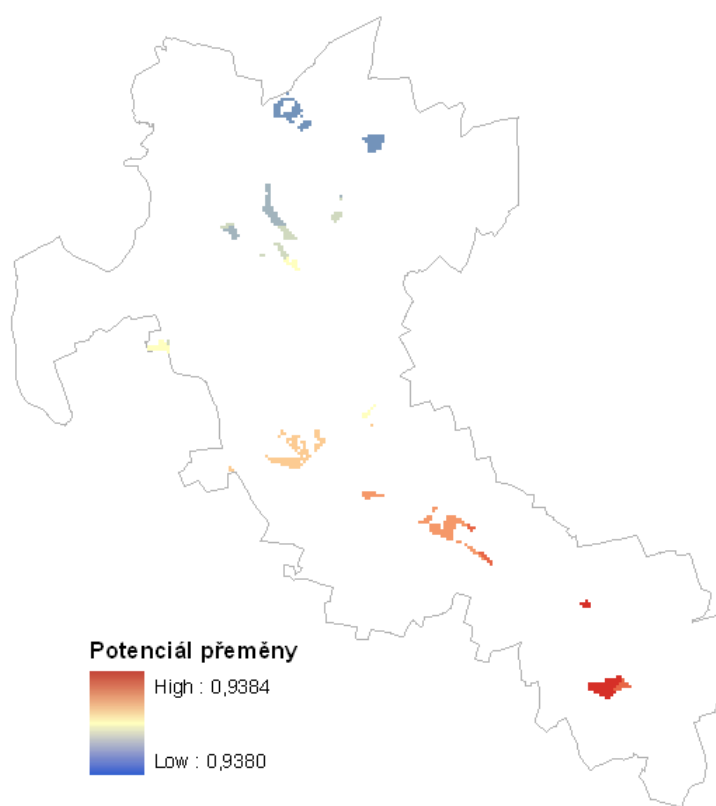


PŘÍLOHA 6

LCM - Potenciál přeměny z rozestavěných ploch na komerční zástavbu

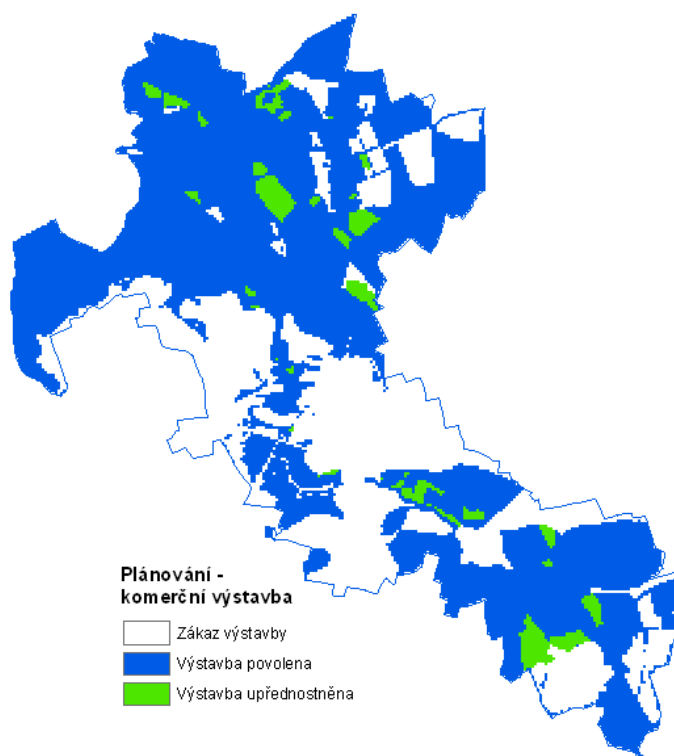


LCM - Potenciál přeměny z rozestavěných ploch na zemědělskou půdu

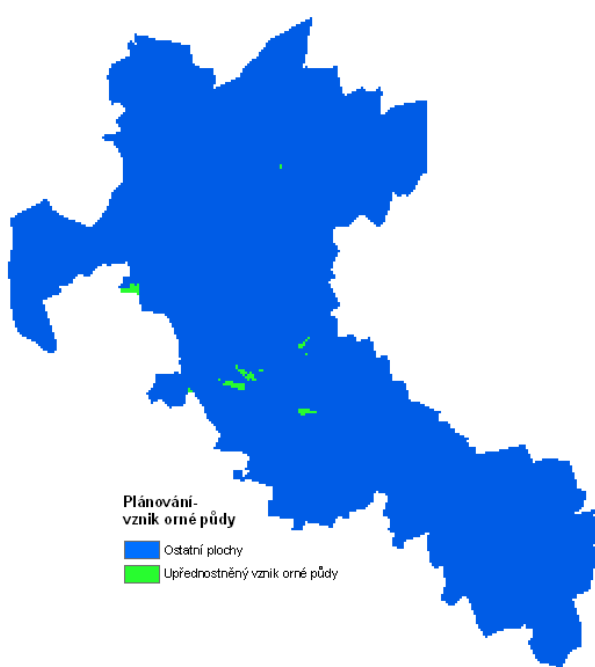


PŘÍLOHA 7

LCM – Plánování, Vznik komerčních ploch



LCM – Plánování, Vznik nové zemědělské půdy



PŘÍLOHA 8

LCM – Předpokládané změny, počet pixelů

Cells in : Expected to transition to :

	Cl. 1	Cl. 2	Cl. 3	Cl. 4	Cl. 5	Cl. 6	Cl. 7
Class 1 :	204	0	147	0	148	0	0
Class 2 :	0	47334	0	0	0	0	0
Class 3 :	0	0	2 605	0	0	0	0
Class 4 :	0	0	0	1229	0	0	0
Class 5 :	0	807	1815	0	13513	0	0
Class 6 :	0	0	0	0	0	3540	0
Class 7 :	0	0	0	0	0	0	270

Cl.1 – Staveniště, Cl.2 – Rezidenční z., Cl.3 – Komerční z., Cl.4 – Silnice, Cl.5 – Zemědělská půda, Cl.6 – Lesní porost, Cl.7 – Vodní plochy

LCM – Původní matice přechodu

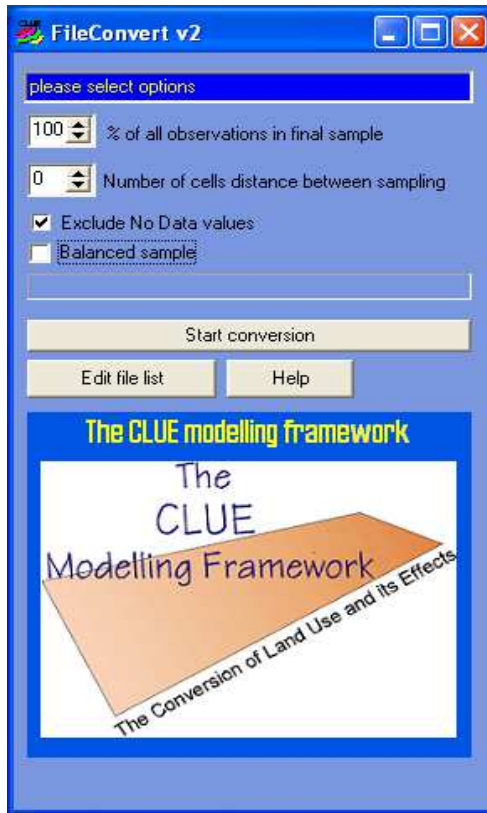
Na Z \	Staveniště	Rezidence	Komerce	Silnice	Zemědělská půda	Les	Vodní plochy
Staveniště	0.0187	0.3208	0.2810	0.0913	0.2857	0.0000	0.0023
Rezidence	0.0000	0.9630	0.0165	0.0034	0.0171	0.0000	0.0000
Komerce	0.0000	0.0448	0.4788	0.0742	0.1144	0.0025	0.0000
Silnice	0.0000	0.0061	0.0664	0.7752	0.0323	0.0040	0.0000
Zemědělská půda	0.0264	0.0267	0.1095	0.0125	0.8204	0.0027	0.0019
Les	0.0000	0.0006	0.0000	0.0003	0.0219	0.9759	0.0014
Vodní plochy	0.0000	0.0000	0.0000	0.0000	0.0043	0.0172	0.9785

červeně: čísla, která byla zvýšena

modře: čísla, která byla snížena

PŘÍLOHA 9

Dyna-CLUE– Program convert.exe

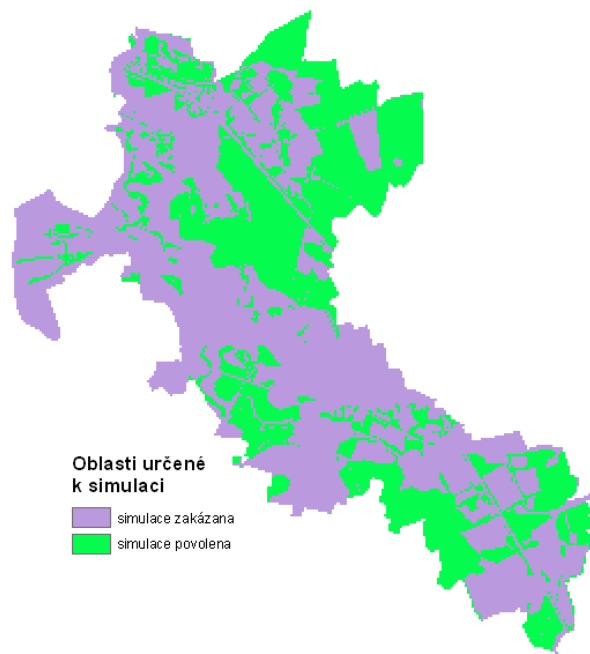


Dyna-CLUE, Soubor *demand.in1*, požadované plochy [ha]

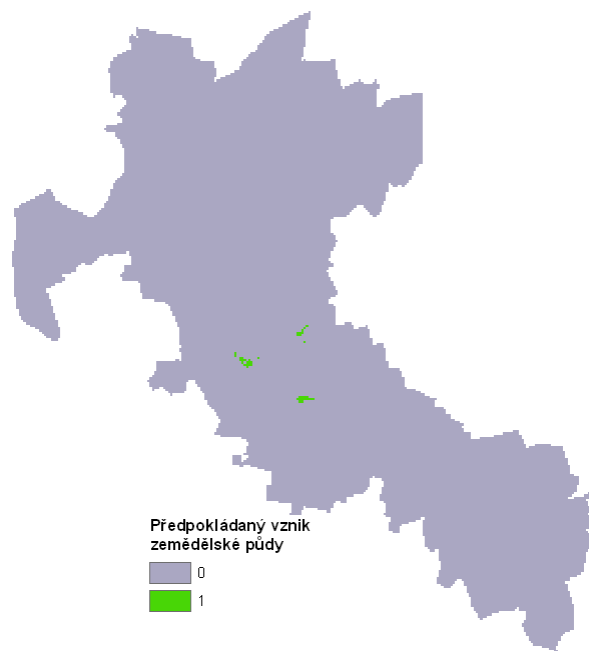
	Staveniště	Rezidenční z.	Komerční z.	Silnice	Zemědělská půda	Les	Vodní plochy
2007	37.6893	172.9188	189.9045	89.5941	1176.1686	257.9931	19.683
2008	34.9191	179.6256	196.0281	89.5941	1166.1084	257.9931	19.683
2009	32.2218	186.3324	202.1517	89.5941	1155.9753	257.9931	19.683
2010	29.5245	193.0392	208.2753	89.5941	1145.8422	257.9931	19.683
2011	26.8272	199.746	214.3989	89.5941	1135.7091	257.9931	19.683
2012	24.1299	206.4528	220.5225	89.5941	1125.576	257.9931	19.683
2013	21.4326	213.1596	226.6461	89.5941	1115.4429	257.9931	19.683
2014	18.7353	219.8664	232.7697	89.5941	1105.3098	257.9931	19.683
2015	16.038	226.5732	238.8933	89.5941	1095.1767	257.9931	19.683
2016	13.3407	233.28	245.0169	89.5941	1085.0436	257.9931	19.683
2017	10.6434	239.9868	251.1405	89.5941	1074.9105	257.9931	19.683
2018	7.29	246.6936	257.2641	89.5941	1065.4335	257.9931	19.683
2019	5.103	253.4004	263.3877	89.5941	1054.7901	257.9931	19.683
2020	0	261.4923	271.188	89.5941	1044.0009	257.9931	19.683

PŘÍLOHA 10

Dyna-CLUE– Oblasti určené k simulaci



Dyna-CLUE – Speciální požadavky na rozvoj území, přeměna stavenišť na zemědělskou půdu



PŘÍLOHA 11

Dyna-CLUE, výstupní soubor *log.fil*

_____ year 13 _____

fraction occupied by land use type 0: 0.002700
 fraction occupied by land use type 1: 0.130278
 fraction occupied by land use type 2: 0.135491
 fraction occupied by land use type 3: 0.046089
 fraction occupied by land use type 4: 0.542601
 fraction occupied by land use type 5: 0.132716
 fraction occupied by land use type 6: 0.010125
 cover type: 0 demand direction for region 0 is -1; demand: 0.0
 cover type: 1 demand direction for region 0 is 1; demand: 261.5
 cover type: 2 demand direction for region 0 is 1; demand: 271.2
 cover type: 3 demand direction for region 0 is 0; demand: 89.6
 cover type: 4 demand direction for region 0 is -1; demand: 1044.0
 cover type: 5 demand direction for region 0 is 0; demand: 258.0
 cover type: 6 demand direction for region 0 is 0; demand: 19.7

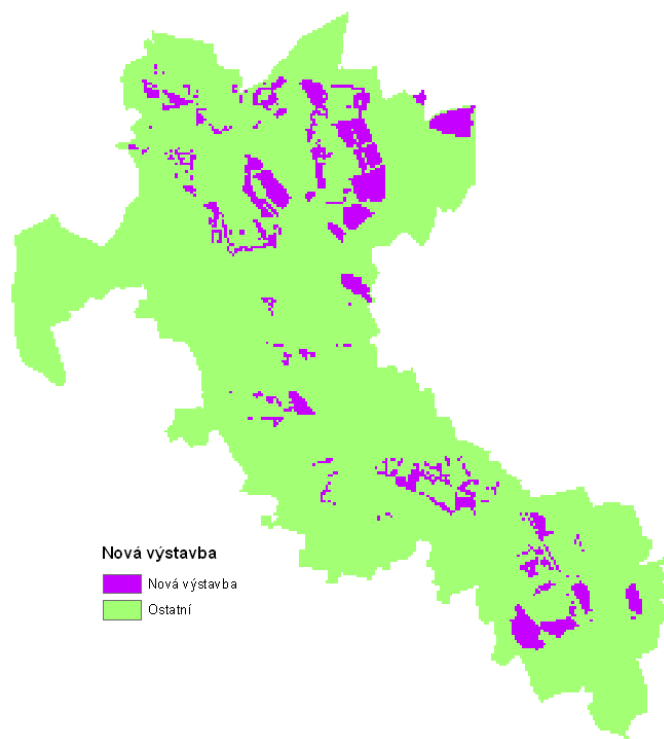
1	482.7	295	358.2	89.6	440.8	258	19.7	-0.412	-0.004	-0.026	0	0.129	0	0	662241.5	94620.6
2	0	298.5	348.1	89.6	440.8	747.4	19.7	-0.412	-0.009	-0.041	0	0.244	-0.628	0	189.67	41.42
3	0	729.4	406.6	89.6	440.8	258	19.7	-0.412	-0.068	-0.057	0	0.317	-0.628	0	178.91	40.95
4	0.3	333.8	801.8	89.6	440.8	258	19.7	-0.412	-0.112	-0.122	0	0.427	-0.628	0	400	97.3
5	0.8	289.2	340.1	89.6	946.6	258	19.7	-0.413	-0.116	-0.137	0	0.437	-0.628	0	1100	163.62
6	0.8	286.1	332.4	89.6	957.3	258	19.7	-0.413	-0.119	-0.15	0	0.489	-0.628	0	1100	162.9
7	0.9	275.3	317.9	89.6	982.6	258	19.7	-0.413	-0.122	-0.158	0	0.498	-0.628	0	1200	175.49
8	1	273.2	314.7	89.6	987.7	258	19.7	-0.414	-0.124	-0.162	0	0.511	-0.628	0	1400	203.71
9	1	271.1	309.8	89.6	994.7	258	19.7	-0.416	-0.126	-0.167	0	0.516	-0.628	0	1400	203.24
10	1	269.9	306.5	89.6	999.2	258	19.7	-0.419	-0.127	-0.172	0	0.524	-0.628	0	1400	202.94
11	1	268.3	303.3	89.6	1004.1	258	19.7	-0.424	-0.15	-0.177	0	0.53	-0.628	0	1400	202.61
12	1.1	264	300.3	89.6	1011.2	258	19.7	-0.426	-0.153	-0.276	0	0.538	-0.628	0	1500	216.41
13	1.7	262.4	273.4	89.6	1039.1	258	19.7	-0.427	-0.153	-0.276	0	0.54	-0.628	0	2400	343.09
14	1.7	262.4	272.4	89.6	1040.2	258	19.7	-0.428	-0.153	-0.276	0	0.54	-0.628	0	2400	343.02
15	1.7	262.1	271.8	89.6	1041.1	258	19.7	-0.429	-0.154	-0.277	0	0.541	-0.628	0	2300	328.68
16	1.6	262.1	271.6	89.6	1041.4	258	19.7	-0.437	-0.154	-0.277	0	0.543	-0.628	0	2200	314.38
17	1.2	261.9	271	89.6	1042.5	258	19.7	-0.439	-0.154	-0.277	0	0.544	-0.628	0	1700	242.92
18	1.2	261.5	270.5	89.6	1043.6	258	19.7	-0.443	-0.154	-0.277	0	0.544	-0.628	0	1600	228.62
19	1.1	261.5	270.2	89.6	1043.9	258	19.7	-0.444	-0.154	-0.276	0	0.544	-0.628	0	1500	214.34
20	1.1	261.5	270.2	89.6	1043.9	258	19.7	-0.449	-0.154	-0.276	0	0.544	-0.628	0	1500	214.34
21	0.9	261.6	270.4	89.6	1043.7	258	19.7	-0.451	-0.154	-0.276	0	0.544	-0.628	0	1300	185.77
22	0.9	261.7	270.5	89.6	1043.6	258	19.7	-0.452	-0.154	-0.276	0	0.545	-0.628	0	1200	171.48
23	0.9	261.6	270.2	89.6	1044	258	19.7	-0.453	-0.154	-0.276	0	0.545	-0.628	0	1200	171.49
24	0.9	261.5	270.5	89.6	1043.8	258	19.7	-0.453	-0.154	-0.276	0	0.545	-0.628	0	1200	171.47
25	0.9	261.5	270.6	89.6	1043.7	258	19.7	-0.454	-0.154	-0.276	0	0.545	-0.628	0	1200	171.47
26	0.9	261.5	270.6	89.6	1043.7	258	19.7	-0.456	-0.154	-0.276	0	0.546	-0.628	0	1200	171.47
27	0.8	261.4	269.7	89.6	1044.8	258	19.7	-0.458	-0.154	-0.275	0	0.545	-0.628	0	1100	157.24

118	0.1	261.5	271.2	89.6	1043.9	258	19.7	-0.521	-0.154	-0.268	0	0.551	-0.629	0	100	14.29
119	0.1	261.5	271.2	89.6	1043.9	258	19.7	-0.521	-0.154	-0.268	0	0.552	-0.629	0	100	14.29
120	0.1	261.5	271	89.6	1044.1	258	19.7	-0.521	-0.154	-0.268	0	0.552	-0.629	0	100	14.3
121	0.1	261.5	271	89.6	1044.1	258	19.7	-0.521	-0.154	-0.268	0	0.552	-0.629	0	100	14.3
122	0.1	261.5	271	89.6	1044.1	258	19.7	-0.522	-0.154	-0.268	0	0.552	-0.629	0	100	14.3
123	0.1	261.5	271	89.6	1044.1	258	19.7	-0.522	-0.154	-0.268	0	0.552	-0.629	0	100	14.3
124	0.1	261.5	271	89.6	1044.1	258	19.7	-0.522	-0.154	-0.268	0	0.552	-0.629	0	100	14.3
125	0.1	261.5	271	89.6	1044.1	258	19.7	-0.522	-0.154	-0.268	0	0.552	-0.629	0	100	14.3
126	0.1	261.5	271	89.6	1044.1	258	19.7	-0.522	-0.154	-0.268	0	0.552	-0.629	0	100	14.3
127	0.1	261.5	271	89.6	1044.1	258	19.7	-0.522	-0.154	-0.267	0	0.552	-0.629	0	100	14.3
128	0.1	261.5	271	89.6	1044.1	258	19.7	-0.522	-0.154	-0.267	0	0.552	-0.629	0	100	14.3
129	0.1	261.5	271	89.6	1044.1	258	19.7	-0.522	-0.154	-0.267	0	0.552	-0.629	0	100	14.3
130	0.1	261.5	271	89.6	1044.1	258	19.7	-0.522	-0.154	-0.267	0	0.552	-0.629	0	100	14.3
131	0.1	261.5	271	89.6	1044.1	258	19.7	-0.523	-0.154	-0.267	0	0.552	-0.629	0	100	14.3
132	0.1	261.5	271	89.6	1044.1	258	19.7	-0.523	-0.154	-0.267	0	0.552	-0.629	0	100	14.3
133	0	261.6	271.2	89.6	1043.9	258	19.7	-0.523	-0.154	-0.267	0	0.552	-0.629	0	0.03	0.01

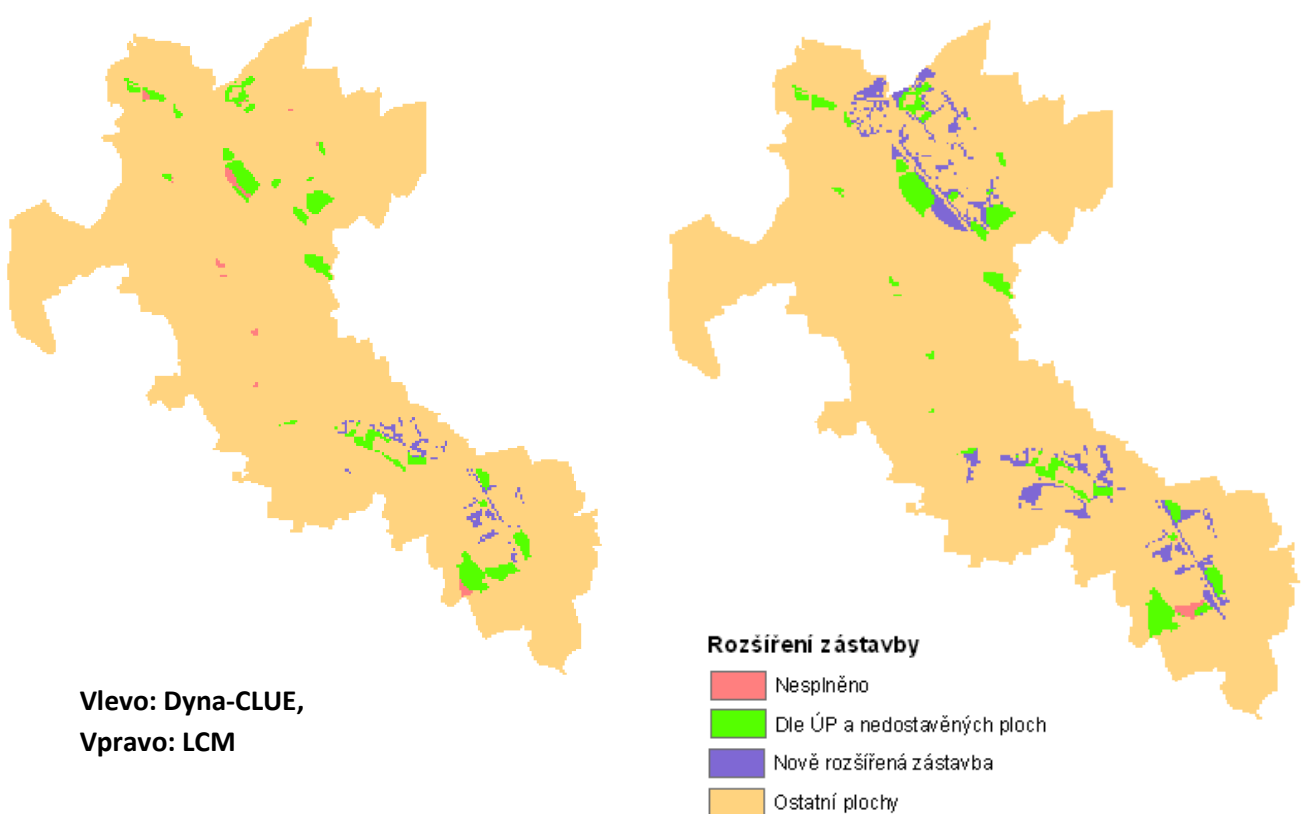
-- End of simulation at:
 17:21:14.25 –

PŘÍLOHA 12

Hodnocení přesnosti, Nová výstavba, Dyna-CLUE



Hodnocení přesnosti, vznik nové komerční výstavby dle prefrenčních oblastí



Příloha 13

Srovnání prvního a druhého výstupu z LCM

